

## تأثیر اتیل استر اسیدهای چرب موجود در سوخت بیودیزل بر خواص ترموفیزیکی آن

بهمن نجفی<sup>۱</sup> و سینا فیض‌الهزاده اردبیلی<sup>۲</sup>

۱- دانشیار، مهندسی بیوسیستم، دانشگاه حقوق اردبیلی (نویسنده مخاطب)، [Najafib@uma.ac.ir](mailto:Najafib@uma.ac.ir)

۲- دانشجوی دکترا انجمن ایرانی های تجدیدپذیر، دانشگاه حقوق اردبیلی، [Sina\\_fa1990@yahoo.com](mailto:Sina_fa1990@yahoo.com)

(دریافت: ۹۵/۱۲/۱۸، دریافت آخرین اصلاحات: ۹۵/۱۱/۱۴، پذیرش: ۹۵/۱۲/۱۸)

**چکیده:** سوختهای بیودیزل عمدتاً حاوی پنج نوع استر اسید چرب (پالمیتات، استئارات، اولئات، لینولئات و لینولنات) هستند که خواص ترموفیزیکی سوختهای بیودیزل تحت تأثیر میزان هر یک از آن‌هاست. در این تحقیق، تأثیر هر یک از منو استر اسیدهای چرب موجود در سوخت بیودیزل بر مهم‌ترین خواص ترموفیزیکی آن (دانسیته، گرانزوی، ارزش حرارتی و عدد ستان) بررسی شد. سوخت بیودیزل به روش ترنس استریفیکاسیون، با استفاده از الكل اثانول و کاتالیزور هیدروکسید سدیم، از هفت نوع روغن گیاهی (آفتاب‌گردان، سویا، کلزا، زیتون، ذرت و هسته انگور) تولید شدند و سپس با نسبت‌های دوتایی با همدیگر مخلوط شدند. خواص ترموفیزیکی هر یک از نمونه‌ها، براساس استانداردهای ASTM اندازه‌گیری شدند. برای هر یک از خصوصیات سوخت بیودیزل، یک مدل رگرسیونی چندمتغیره خطی بر حسب ۵ متغیر مستقل اتیل استرهای اسید چرب موجود ارائه شد. ضرایب همبستگی مدل‌های رگرسیونی برای دانسیته، گرانزوی، ارزش حرارتی و عدد ستان به ترتیب برابر  $0.9457$ ،  $0.9169$ ،  $0.9731$  و  $0.9029$  بودند. نتایج نشان داد که ضریب تأثیر اتیل استئارات ( $C18=0$ ) بر دانسیته سوخت بیودیزل برابر  $0.803$  بوده و کمتر از حد استاندارد  $(0.86)$  است و ضریب تأثیر اتیل لینولنات ( $C18=3$ ) بر دانسیته برابر  $0.913$  است که بیشتر از حد استاندارد  $(0.9)$  است. ضریب تأثیر اتیل استئارات ( $C18=0$ ) بر گرانزوی بیودیزل برابر  $0.41$  بوده که بیشتر از حد استاندارد  $(0.47)$  است. بیشترین تأثیر افزایشی بر ارزش حرارتی بیودیزل، مربوط به اتیل استئارات ( $C18=0$ ) است و کمترین تأثیر مربوط به اتیل پالمیتات ( $C16=0$ ) و اتیل لینولنات ( $C18=3$ ) است. ضریب تأثیر اتیل لینولنات ( $C18=3$ ) بر عدد ستان بیودیزل، برابر  $0.652$  بوده و کمتر از حد استاندارد  $(0.652)$  است. در نتیجه، با افزایش مقدار اسیدهای چرب اشباع (مخصوصاً اتیل استئارات)، گرانزوی، ارزش حرارتی و عدد ستان سوخت افزایش، ولی دانسیته آن کاهش می‌یابد. افزایش ارزش حرارتی و عدد ستان سوخت باعث بهبود کیفیت احتراق و افزایش توان تولیدشده در موتور می‌شود، ولی افزایش گرانزوی و کاهش دانسیته موجب پودرشدن ناقص سوخت می‌شود. لذا، تولید بیودیزل (اتیل استر) از روغن‌های گیاهی با اسیدهای چرب اشباع (استئاریک) بالاتر، به شرطی که موجب نشود تا دانسیته و گرانزوی سوخت از حد استاندارد خارج شود، باعث کارایی بهتر موتور و افزایش توان تولیدی خواهد شد.

**کلیدواژگان:** بیودیزل، اتیل استر اسیدهای چرب، خواص ترموفیزیکی، مدل‌سازی

### مقدمه

در سال‌های اخیر، تحقیقات وسیعی در راستای امکان استفاده از سوختهای تجدیدپذیر مانند بیوگاز، بیوباتانول، بیوبنزین و بیودیزل به جای سوختهای فسیلی انجام شده است. از آنجا که قسمت عمده آلاینده‌هایی خروجی از اگزوز مربوط به سوخت دیزل و موتورهای دیزل است، لذا، تحقیق برای یافتن سوخت جایگزین و مناسب برای سوخت دیزل سهم وسیعی از تحقیقات

را به خود اختصاص داده است [۱]. یکی از مهم‌ترین ملاک‌های انتخاب سوخت جایگزین، علاوه بر تجدیدپذیری، تولید آلاینده کمتر و عدم نیاز به تغییر در ساختار موتور است [۲]. روغن‌های گیاهی (تری‌گلیسیریدها) می‌توانند جایگزین مناسبی برای سوخت دیزل باشند، ولی، بهدلیل داشتن زنجیرهای هیدروکربنی طویل، نسبت به گازوییل گرانروی و چگالی بالاتری دارند لذا استفاده مستقیم از آن‌ها در موتور دیزل موجب کاهش کیفیت احتراق شده و تاثیر نامطلوبی بر تولید توان و انتشار آلاینده‌ها دارد. برای اصلاح ساختار روغن‌های گیاهی و استفاده در موتور دیزل، تری‌گلیسیریدهای موجود در آن با یک الکل ساده (با یک کاتالیزور بازی یا اسیدی) در طی فرایند ترنس‌استریفیکاسیون تبدیل به منو استرهای اسید چرب (سوخت بیودیزل) می‌شود [۳]. درصورتی که برای تولید بیودیزل از الكل متانول استفاده شود، متیل‌ستر اسید چرب<sup>۱</sup> تولید می‌شود و اگر از اتانول استفاده شود، اتیل‌ستر اسید چرب<sup>۲</sup> تولید خواهد شد [۵,۴].

خواص سوخت بیودیزل به طور انکار ناپذیری تحت تأثیر نوع اسیدهای چرب تشکیل دهنده آن است [۶]. بررسی تأثیر هر یک از این اسیدهای چرب بر خواص ترموفیزیکی سوخت بیودیزل، می‌تواند در شناسایی روغن‌های مناسب برای تولید سوخت بیودیزل استاندارد (متیل‌ستر یا اتیل‌ستر) بسیار مؤثر باشد. استفاده از الكل اتانول و تولید اتیل‌ستر، بهدلیل واکنش‌پذیری کمتر اتانول، عمومیت کمتری دارد.

تاکنون مطالعات زیادی بر روی متیل‌ستر روغن‌های گیاهی و خواص آن‌ها صورت گرفته است [۷-۲۰]. دانسیته، گرانروی، ارزش و عدد ستان مهم‌ترین خواص موثر بر احتراق سوخت بیودیزل‌اند. دانسیته و گرانروی، بر کیفیت پاشش و پودرشدن<sup>۳</sup> سوخت موثر بوده و ارزش حرارتی و عدد ستان بر کیفیت احتراق و آزادسازی انرژی موجود در سوخت موثر است [۷-۹]. خواص سوخت بیودیزل وابسته به ساختار شیمیایی (تعداد هیدروژن، کربن و اکسیژن)، نوع و درصد اسیدهای چرب، طول زنجیره هیدروکربنی، تعداد پیوندهای دوگانه و جرم مولکولی هر یک از اجزاء است [۱۰-۲۰].

رامیرز و همکاران مدلی را برای پیش‌بینی دانسیته متیل‌ستر اسیدهای چرب براساس تعداد پیوندهای دوگانه و وزن مولکولی هر جزء ارائه دادند. نتایج کار آن‌ها نشان داد که دانسیته سوخت بیودیزل با وزن مولکولی رابطه عکس و با تعداد پیوندهای دوگانه رابطه مستقیم دارد [۱۰].

آن و همکاران یک مدل لگاریتمی را برای پیش‌بینی گرانروی سوخت حاوی متیل‌ستر اسیدهای چرب برحسب کسر جرمی و گرانروی خالص هر یک از جزء ارائه دادند. نتایج نشان داد که لگاریتم متوسط گرانروی مخلوط با حاصل ضرب لگاریتم گرانروی خالص هر یک جزء در کسر جرمی رابطه مستقیم دارد. آن‌ها برای تولید متیل‌سترها از روغن نارگیل، کلزا، بادام‌زمینی، سویا و کانولا استفاده کردند. مدل ارائه شده آن‌ها گرانروی سوخت را با خطای  $3 \pm$  درصد پیش‌بینی می‌کرد [۱۱]. سو و همکاران، و چانگ و لیو، در تحقیقات جدآگانه‌ای، گرانروی متیل‌ستر اسید چرب را برحسب متوسط وزنی تعداد اتم‌های کربن و متوسط وزنی تعداد پیوندهای دوگانه مدلسازی کردند. نتایج نشان داد که گرانروی سوخت با افزایش تعداد اتم‌های کربن افزایش یافته و با افزایش تعداد پیوندهای دوگانه، کاهش می‌یابد. آن‌ها برای تولید سوخت متیل‌ستر از روغن‌های پالم، زیتون، بادام زمینی، کانولا، سویا و ذرت استفاده کردند [۱۲, ۱۳]. رامیرز و همکاران گرانروی سوخت متیل‌ستر اسیدهای چرب را براساس تعداد پیوندهای دوگانه و وزن مولکولی هر جزء پیش‌بینی کردند. نتایج نشان داد که لگاریتم گرانروی سوخت بیودیزل با وزن مولکولی و تعداد پیوندهای دوگانه رابطه مستقیم دارد [۱۰]. یوان و همکاران و نت و همکارانش، در تحقیقات جدآگانه‌ای، گرانروی متیل‌ستر اسیدهای چرب خالص و ارتباط بین آنها با را گرانروی کل سوخت بیودیزل بررسی و مدل‌سازی کردند. نتایج حاصل از مدل در مقایسه با نتایج تجربی پنج نوع سوخت بیودیزل نشان داد که بیشترین خطای ایجادشده برای پیش‌بینی گرانروی سوخت متیل‌ستر کمتر از ۷ درصد است [۱۴, ۱۵].

1. Fatty Acid Methyl Esters (FAME)

2. Fatty Acid Ethyl Esters (FAEE)

3. Atomization

در تحقیقات جداگانه‌ای، صدراملی و همکاران و رامیرز و همکارانش به این نتیجه رسیدند که با افزایش طول زنجیره اسید چرب و کاهش پیوندهای دوگانه، ارزش حرارتی سوخت بیودیزل (متیل استر اسیدهای چرب) افزایش می‌یابد [۱۶، ۱۰]. فریدمن و مو مدلی را برای پیش‌بینی ارزش حرارتی سوخت متیل استر اسیدهای چرب براساس تعداد کربن، تعداد الکترون‌های ظرفیت و وزن مولکولی آن‌ها ارائه دادند. آن‌ها به این نتیجه رسیدند که افزایش تعداد کربن و وزن مولکولی اسیدهای چرب و تری‌گلیسریدها منجر به افزایش ارزش حرارتی سوخت می‌شود [۱۷].

رامادز مدلی را برای پیش‌بینی عدد ستان سوخت بیودیزل براساس درصد متیل استر اسیدهای چرب موجود در آن ارائه کردند. مدل ارائه‌شده دقت قابل قبولی برای پیش‌بینی عدد ستان سوخت بیودیزل براساس درصد متیل استر اسیدهای چرب داشت [۱۸]. بامگبوی و هانسن نیز عدد ستان سوخت بیودیزل را بر حسب ترکیبات متیل استر اسیدهای چرب به دست آورده و یک رابطه رگرسیونی بین عدد ستان اندازه‌گیری شده و درصد ترکیبات متیل استر اسیدهای چرب برقرار کردند. نتایج نشان داد که ضرایب اسیدهای چرب اشباع لئوپلیک<sup>۱</sup>، میرستیک<sup>۲</sup>، پالمیتیک<sup>۳</sup>، استئاریک<sup>۴</sup> و پالمیتوئلیک<sup>۵</sup> مثبت بوده و موجب افزایش عدد ستان بیودیزل می‌شوند. همچنان، با افزایش تعداد کربن اسیدهای چرب اشباع، ضرایب مثبت عدد بزرگ‌تری شده و عدد ستان را بیشتر تحت تاثیر قرار داده و افزایش می‌دهند. همچنان، نتایج نشان می‌دهد که اسیدهای چرب غیراشباع (اوئنیک، لینولئیک و لینولینیک) عدد ستان را کاهش می‌دهند [۱۹]. این معادله با نتایج حاصل از تحقیقات انجام‌گرفته قبلی توسط وان‌گرین در سال ۱۹۹۶ تقریباً سازگاری دارد [۱۹، ۹]. معادله ارائه شده توسط وان‌گرین عدد ستان سوخت بیودیزل (متیل استر) را براساس درصد متیل استر اسیدهای چرب موجود در سوخت با دقت ۸۸ درصد پیش‌بینی می‌کرد. البته، توضیح این نکته لازم است که عدد ستان سوخت‌های بیودیزل (متیل استر) بسیار گسترده و از ۴۵ تا ۶۰ ارائه شده است [۹].

نتایج تحقیقاتی که خواص سوخت بیودیزل (متیل استر اسیدهای چرب) را گزارش داده‌اند بسیار متفاوت و بعضًا متناقض است. به عنوان مثال، عدد ستان سوخت‌های بیودیزل حاصل از روغن سویا از ۴۵ تا ۶۰ ارائه شده است [۹-۷]. زیرا روغن‌های گیاهی و به تبع آن، سوخت‌های بیودیزل حاصل از آن‌ها دارای انواع اسیدهای چرب‌اند. درصد وزنی هر یک از این اسیدهای چرب موجود در روغن‌های گیاهی بر خواص سوخت بیودیزل حاصل از آن موثر است. عمدت‌ترین اسیدهای چرب موجود در روغن‌های گیاهی اسید پالمیتیک، اسید استئاریک، اسید اوئنیک<sup>۶</sup>، اسید لینولئیک<sup>۷</sup> و اسید لینولینیک<sup>۸</sup> هستند. اسید پالمیتیک پالمیتیک و اسید استئاریک کوتاه‌ترین زنجیره هیدروکربنی را با پیوندهای ساده C-C دارند. اسید اوئنیک، اسید لینولئیک و اسید لینولینیک به ترتیب دارای یک، دو و سه پیوند دوگانه C=C هستند.

در این تحقیق، تاثیر هر یک از اجزاء سازنده سوخت بیودیزل (اتیل پالمیتات، اتیل استئارات، اتیل لینولئات و اتیل لینولنات) بر مهم‌ترین خواص ترموفیزیکی آن (دانسیته، گرانبروی، ارزش حرارتی و عدد ستان) به صورت تجربی بررسی شد و به منظور پیش‌بینی خواص آن، یک مدل غیرخطی رگرسیونی چندگانه ارائه شد.

## مواد و روش‌ها

### روش تولید سوخت بیودیزل

سوخت بیودیزل مورد آزمون اتیل استرهای اسید چرب است که به روش ترنس استریفیکاسیون و با استفاده از الكل اتانول و کاتالیزو سود (NaOH) از شش نوع روغن گیاهی (آفتاب‌گردان، سویا، کلزا، زیتون، ذرت و هسته انگور) تولید شد. بازده تولید

- 
1. Lauric Acid
  2. Myristic Acid
  3. Palmitic Acid
  4. Stearic Acid
  5. Palmitoleic Acid
  6. Oleic Acid
  7. Linoleic Acid
  8. Linolenic Acid

سوخت بیو دیزل بهشت به پارامترهایی مانند دما، نسبت مولی الکل به روغن و نوع و مقدار کاتالیزور وابسته است. فرایند تولید بیو دیزل (اتیل استر) از روغن‌های گیاهی (تری‌گلیسیریدها) در شکل ۱ آورده شده است.  $R^1$ ,  $R^2$  و  $R^3$  زنجیره‌های هیدروکربنی (اسیدهای چرب) موجود در روغن‌های گیاهی‌اند.

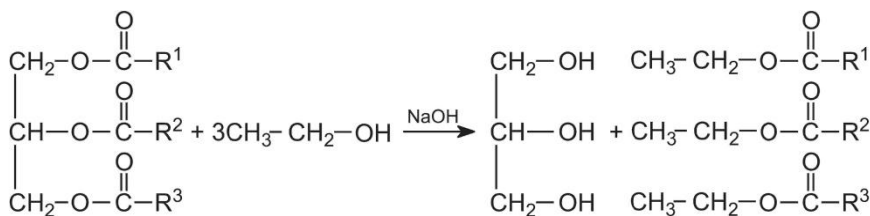


Figure 1- The process of biodiesel production from vegetable oil

شکل ۱- فرایند تولید بیو دیزل (اتیل استر) از روغن‌های گیاهی

در ابتدا، پس از تصفیه روغن و جداسازی مواد جامد از آن، روغن در دمای  $60^\circ\text{C}$  به مدت ۱۵ دقیقه حرارت داد شده و سپس به مدت ۲۴ ساعت به حالت ساکن رها شد تا آب داخل روغن تهنشین شود. حجم روغن مورد نیاز به مقدار  $1000\text{CC}$  اندازه‌گیری شده و تا دمای  $70^\circ\text{C}$  گرم شد. الکل اتانول مورد نیاز نیز به مقدار  $1000\text{CC}$  اندازه گیری شده و به همراه کاتالیزور  $\text{NaOH}$  تا دمای  $70^\circ\text{C}$  حرارت داده شد. در این حالت، کاتالیزور  $\text{NaOH}$  معادل ۱ درصد وزنی روغن بوده و نسبت مولی الکل به روغن ۶ به ۱ است. سپس، محلول هیدروکسید سدیم و الکل به روغن اضافه شده و به مدت ۶۰ دقیقه بهم زده شدند. مخلوط دو ماده حالت سوسپانسیون دارد. لذا برای مخلوط شدن و انجام واکنش بهتر، لازم است تا مخلوط باشدتی بهم زده شود که عدد رینولدز داخل راکتور تقریباً برابر عدد  $620 \times 21$  باشد<sup>[۲]</sup>. در این مرحله، مخلوط بهدست آمده در یک بازه زمانی کوتاه به سرعت به رنگ تیره درآمده و سپس به رنگ زرد کمرنگ تبدیل می‌شود. پس از ۳۰ دقیقه، واکنش تا  $80^\circ\text{C}$  درصد پیشرفت می‌کند و اگر بر هم‌زنی مخلوط یکنواخت صورت نگیرد، امکان مومی‌شدن مخلوط وجود دارد. پس از تکمیل واکنش، ظرف محتوی مواد واکنش به مدت ۲۴ ساعت در دمای محیط به صورت کاملاً ساکن قرار داده می‌شود تا خنک شود. برای حذف کاتالیزور اضافی، مخلوط با استفاده از اسید کلریدریک ( $\text{HCl}$ ) خنثی می‌شود. در ادامه، برای خالص‌سازی سوخت بیو دیزل، مخلوط از صافی با شبکه‌های درشت عبور داده شده و شستشو می‌شود. شستشوی مخلوط با آب مقطر (معادل حجم مخلوط) در دمای  $60^\circ\text{C}$  صورت گرفت. با اضافه کردن آب، مخلوط باید به آرامی بهم زده شود. پس از شستشو، مخلوط به مدت ۵ روز در دمای محیط قرار داده شد. در نتیجه، سه فاز کاملاً مشخص در داخل ظرف ایجاد شد. بیو دیزل، که از سایر فازها سبک‌تر است، در قسمت بالایی، مواد صابونی در وسط ظرف و محلول آب، الکل اضافی و نمک باقی‌مانده به رنگ لیمویی در قسمت پایین ظرف قرار گرفتند. فاز بیو دیزل از سایر فازها جدا شده و سه بار مورد شستشو قرار گرفت. در نهایت، بیو دیزل تولید شده در داخل آون با دمای  $50^\circ\text{C}$  به مدت ۲۴ ساعت قرار گرفت و اندک آب موجود در آن، به صورت ثقلی در ته ظرف تهنشین شده و جدا شد. با انجام آزمون آزمون کروماتوگرافی گازی<sup>۱</sup> و تعیین اتیل استرهای موجود در سوخت بیو دیزل، درجه خلوص بیو دیزل تولید شده بالای ۹۸ درصد به دست آمد که شرایط استاندارد ASTM<sup>۲</sup> را دارا بود.

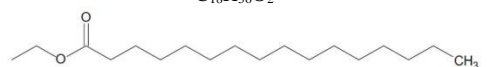
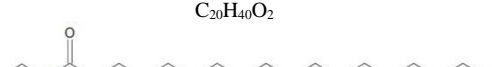
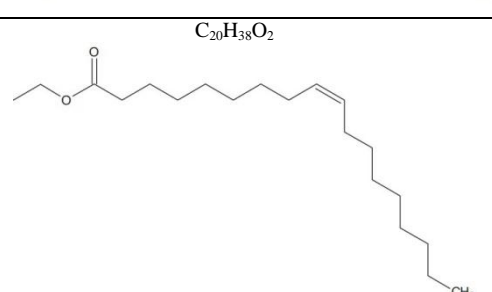
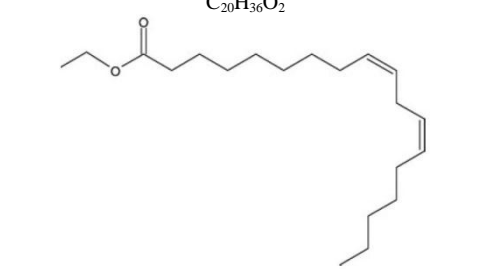
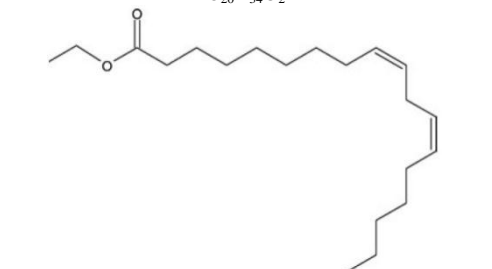
در فرایند ترسن استریفیکاسیون، تری‌گلیسیریدهای موجود روغن‌های گیاهی شکسته شده و به اتیل استر اسیدهای چرب تبدیل می‌شوند. لذا، ۵ نوع اتیل استر اسید چرب تولید می‌شود. اسیدهای چرب موجود در روغن‌های گیاهی عبارت‌اند از: پالمیتیک، استئاریک، اولئیک، لینولئیک و لینولئنیک<sup>[۷]</sup>. در جدول ۱ ساختار شیمیایی اسیدهای چرب موجود در روغن‌های گیاهی آورده شده است.

1. GC-Mass

2. American Society for Testing and Materials

جدول ۱- ساختار شیمیایی اسیدهای چرب موجود در روغن‌های گیاهی [۷]

Table 1-The chemical structure of fatty acids in vegetable oils [7]

Fatty acids of oils	Trivial name of fatty acids	Chemical formula	Chemical structure of fatty ethyl ester
Palmitic Acid (C16:0)	Hexadecanoic acid	R-(CH <sub>2</sub> ) <sub>14</sub> -CH <sub>3</sub>	
Stearic Acid (C18:0)	Octadecanoic acid	R-(CH <sub>2</sub> ) <sub>16</sub> -CH <sub>3</sub>	
Oleic Acid (C18:1)	9(Z)-Octadecenoic acid	R-(CH <sub>2</sub> ) <sub>7</sub> -CH=CH-(CH <sub>2</sub> ) <sub>7</sub> -CH <sub>3</sub>	
Linoleic Acid (C18:2)	9(Z),12(Z)-Octadecadienoic acid	R-(CH <sub>2</sub> ) <sub>7</sub> -CH=CH-CH <sub>2</sub> -CH=CH-(CH <sub>2</sub> ) <sub>4</sub> -CH <sub>3</sub>	
Linolenic Acid (C18:3)	9(Z),12(Z),15(Z)-Octadecatrienoic acid	R-(CH <sub>2</sub> ) <sub>7</sub> -(CH=CH-CH <sub>2</sub> ) <sub>3</sub> -CH <sub>3</sub>	

R is fatty ethyl ester (Biodiesel) CH<sub>3</sub>CH<sub>2</sub>OCO-

### تهیه نمونه‌های سوخت بیودیزل

به منظور بررسی تأثیر میزان درصد وزنی هر یک از این منواسترهای موجود در سوخت بیودیزل بر خواص ترموفیزیکی آن، لازم است تا آزمایش‌هایی به صورت تجربی با استفاده از منواسترهای اسید چرب انجام گیرد. جداسازی منواستر اسید چرب موجود در سوخت بیودیزل کار بسیار مشکلی بوده و عملاً امکان‌پذیر نیست. ولی در صورتی که تأثیر چندین نوع سوخت بیودیزل (با درصدهای مختلف منواسترهای اسید چرب) بر خواص آن مورد مطالعه قرار گیرند، می‌توان تأثیر هر یک از منواسترهای اسید چرب موجود در سوخت را به صورت مجزا تعیین کرد. در این تحقیق، ابتدا شش نوع سوخت بیودیزل خالص از روغن‌های آفتاب‌گردان، سویا، کلزا، زیتون، ذرت و هسته انگور تولید شدند و با انجام آزمون کروماتوگرافی گازی، درصد هر یک از استرهای موجود تعیین شدند. سپس، بیودیزل‌های حاصل از شش روغن مذکور، با نسبت‌های مختلف (دوتایی)، با هم مخلوط

شدن. در نتیجه، ۲۱ نمونه سوخت بیودیزل مخلوط با درصدهای وزنی مشخصی از اتیل پالمیتات، اتیل استئارات و اتیل اولئات، اتیل لینولئات و اتیل لینولنات تهیه شدند.

### روش اندازه‌گیری خواص سوخت بیودیزل

خواص ترموفیزیکی سوخت بیودیزل باید براساس استاندارد ASTM اندازه‌گیری شود تا کیفیت سوخت تایید شود [۲۰]. موسسه<sup>۱</sup> استانداردی را وضع کرده است که در آن هر یک از خواص سوخت بیودیزل مانند ارزش حرارتی، عدد ستان، چگالی، گرانروی سینماتیک، نقطه روشنایی، نقطه ابری‌شدن، نقطه ریزش و غیره با یک روش خاص، که این موسسه پیشنهاد داده است، اندازه‌گیری می‌شوند. استاندارد ASTM محدوده قابل قبول برای هر یک از این خواص برای سوخت بیودیزل خالص تعريف کرده است. خواص ترموفیزیکی تمامی نمونه‌های سوخت، مطابق استاندارد ASTM، در آزمایشگاه سوخت‌های زیستی دانشگاه محقق اردبیلی اندازه‌گیری شدند. دانسیته سوخت‌ها مطابق با استاندارد ASTM D4052 با استفاده از دستگاه چگالی سنج دیجیتال مدل DA-130N در دمای  $15^{\circ}\text{C}$  اندازه‌گیری شد. گرانروی نیز، مطابق استاندارد ASTM D445 به کمک ویسکومتر بروکفیلد<sup>۲</sup> مدل DV-II Prime، دارای آدپتور UAL در دمای  $40^{\circ}\text{C}$  اندازه‌گیری شد. ارزش حرارتی سوخت، مطابق استاندارد ASTM D240 به وسیله بمب کالریمتر ساخت شرکت پار<sup>۳</sup> آمریکا اندازه‌گیری شد. عدد ستان براساس استاندارد ASTM D 613 با استفاده از موتور ستان سنج CFR<sup>۴</sup> در آزمایشگاه موتورهای احتراقی دانشگاه تبریز اندازه‌گیری شد. میزان درصد وزنی هر یک از اتیل اسیدهای چرب موجود در سوخت‌های بیودیزل به روش کروماتوگرافی گازی<sup>۵</sup> در ترکیب با اسپکتروسکوپی جرمی با استفاده از دستگاه، کروماتوگرافی گازی براساس استاندارد ASTM D6584، در آزمایشگاه شیمی دانشگاه آزاد واحد اردبیل اندازه‌گیری شد [۲۰]. برای اندازه‌گیری دانسیته، گرانروی و ارزش حرارتی، خواص ۲۱ نمونه سوخت، در ۳ تکرار انجام گرفت [۲۱، ۲۲] و میانگین آنها به عنوان داده نهایی ثبت شد، ولی عدد ستان فقط یکبار و بدون تکرار برای ۲۱ نمونه سوخت اندازه‌گیری شد [۲۱، ۲۲]. آزمون کروماتوگرافی گازی نیز فقط یکبار و بدون تکرار برای بیودیزل‌های حاصل از شش روغن اندازه‌گیری شد.

### روش مدلسازی رگرسیونی

برای مدلسازی، از داده‌های مربوط به ۲۱ نمونه مخلوط سوخت بیودیزل استفاده شد. ابتدا، همبستگی متغیرها و آزمون خطی بودن تاثیر هر یک از اتیل استرهای موجود در سوخت بر خواص ترموفیزیکی آن انجام گرفت و در نهایت برای هر یک از خصوصیات سوخت بیودیزل (دانسیته، ارزش حرارتی، گرانروی و عدد ستان) یک مدل رگرسیونی چندمتغیره خطی بر حسب ۵ متغیر مستقل اتیل استرهای اسید چرب خالص موجود در سوخت بیودیزل (اتیل پالمیتات، اتیل استئارات، اتیل اولئات، اتیل لینولئات و اتیل لینولنات) با استفاده از نرمافزار SPSS<sup>۶</sup> ارائه شد. فرمول کلی مدل‌های ارائه شده به صورت زیر است:

$$P = c_1 x_P + c_2 x_S + c_3 x_O + c_4 x_{LE} + c_5 x_{LN} \quad (1)$$

که در آن،  $P$  خاصیت سوخت بیودیزل (دانسیته، ارزش حرارتی، گرانروی و عدد ستان)،  $x_P$  درصد اتیل پالمیتات،  $x_S$  درصد اتیل استئارات،  $x_O$  درصد اتیل اولئات،  $x_{LE}$  درصد اتیل لینولئات و  $x_{LN}$  درصد اتیل لینولنات است و مقادیر  $c_1$ ،  $c_2$ ،  $c_3$ ،  $c_4$  و  $c_5$  ضرایب ثابتی‌اند که با استفاده از داده‌های تجربی به دست می‌آیند و نشان‌دهنده تاثیر هر یک از منو اسیدهای چرب

1. American Society of the International Association for Testing and Materials

2. Brookfield

3. Par

4. Cetane Fuel Rating

5. Gas Cromatography

6. Statistical Package for Social Science

موجود در سوخت بیودیزل بر خاصیت مورد اندازه‌گیری است. برای تعیین دقت و اعتبار مدل‌های برآششده، از شاخص آماری ضریب تبیین<sup>۱</sup> (R) و جذر میانگین مربعات خطأ (RMSE)<sup>۲</sup> استفاده شد.

$$R = \sqrt{1 - \left( \frac{\sum_{i=1}^N (A_i - P_i)^2}{\sum_{i=1}^N A_i^2} \right)} \quad (2)$$

$$RMSE = \sqrt{\frac{1}{N} \sum_{i=1}^N (A_i - P_i)^2} \quad (3)$$

که  $A$  مقدار واقعی،  $P$  مقدار پیش‌بینی شده و  $N$  تعداد نمونه‌هاست.

## نتایج و بحث

### درصد وزنی اتیل استرهای موجود در بیودیزل

در شکل ۲، نتایج به دست آمده از آزمون کروماتوگرافی گازی با استفاده از ستون قطبی برای سوخت‌های بیودیزل تولیدشده از روغن‌های گیاهی (آفتاب‌گردان، سویا، کلزا، زیتون، ذرت و هسته انگور) آورده شده است. محور افقی مربوط به زمان خروج و محور عمودی میزان فراوانی ترکیبات موجود در سوخت بیودیزل است. هرچه مولکولی قطبی‌تر باشد، مدت زمان بیشتری لازم دارد تا از ستون خارج شود و از مقابله شناساگر عبور کند. همان‌طور مشاهده می‌شود، نمونه سوخت‌های بیودیزل متشكل از هشت پیک است. هر پیک نشان‌دهنده میزان فراوانی ترکیبی است که در زمان مشخص شده بر روی محور طولی، از دستگاه خارج شده است. با تجزیه و تحلیل نتایج به دست آمده از آزمون کروماتوگرافی گازی، پنج نوع اتیل استر پالمیتات، استئارات، اولئات، لینولئات و لینولنات در سوخت‌ها شناسایی شدند و سه پیک دیگر مربوط به ناخالصی‌هاست. سطح زیر هر پیک نشان‌دهنده درصد جرمی اتیل استر اسیدهای چرب موجود در سوخت‌های بیودیزل است که در جدول ۲ آورده شده است. بیشترین مقدار مربوط به اتیل اولئات با مقدار ۷۳/۵ درصد (روغن زیتون) و کمترین مقدار مربوط به اتیل لینولنات با ۰/۸ درصد (روغن آفتاب‌گردان) است. محدوده اتیل پالمیتات بین ۴/۸ تا ۱۱/۹ درصد، اتیل استئارات بین ۱/۳ تا ۱۲/۳۹ درصد، اتیل اولئات بین ۲۱/۴ تا ۷۳/۴ درصد، اتیل لینولئات بین ۸/۹ تا ۶۷/۱ درصد و اتیل لینولنات بین ۰/۰ تا ۸/۹۳ درصد است.

جدول ۲- درصد وزنی اتیل استر اسیدهای چرب موجود در سوخت‌های بیودیزل

Table 2-The mass fraction of ethyle esters of biodiesel

Biodiesel feedstock	mass fraction of fattyacid ethyl ester				
	C18:0	C20:0	C20:1	C20:2	C20:3
Sunflower	4.8	9.39	23.13	53.66	0.8
Canola	5.2	1.4	66	18.9	8.5
Soybean	8.45	2.68	43.63	36.3	8.93
Corn	6.11	12.39	25.87	54.7	0.93
Olive	11.8	4	73.5	8.9	1.8
greepseed	6.79	3.9	21.4	67.1	0.81

1. Correlation Coefficient  
2. Root Mean Square Error

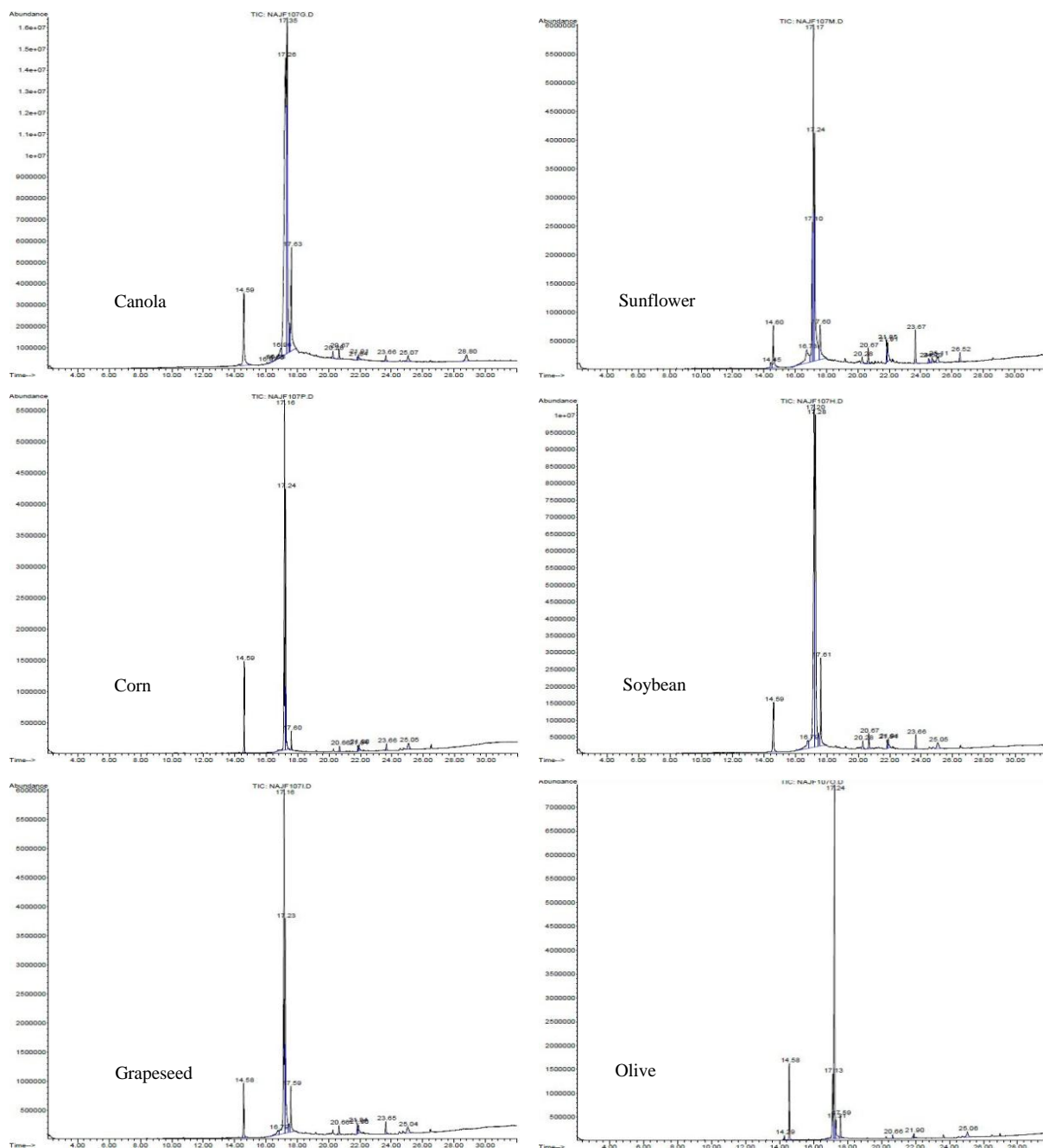


Figure 2- The detected ethyl esters of GC-Mass related to biodiesel of vegetable oils

شکل ۲- ترکیبات خارج شده از ستون کروماتوگرافی گازی مربوط به سوخت بیودیزل حاصل از روغن‌های گیاهی

### خواص ترموفیزیکی سوخت‌های بیودیزل

نتایج حاصل از اندازه‌گیری خواص ترموفیزیکی سوخت‌های بیودیزل و دقت اندازه‌گیری دستگاه‌ها در جدول ۳ آورده شده است. همان‌طور که مشاهده می‌شود، بیشترین ارزش حرارتی مربوط به سوخت بیودیزل حاصل از روغن ذرت است و بیشترین مقدار دانسته، گرانروی و نقطه اشتعال مربوط به بیودیزل حاصل از روغن آفتابگردان است. همچنین، بیشترین عدد ستان و نقطه ابری‌شدن مربوط به سوخت به بیودیزل حاصل از روغن زیتون است.

جدول ۳- خواص ترموفیزیکی سوخت‌های بیودیزل تولیدشده از پنج نوع روغن گیاهی  
Table 3- The thermo-physical properties of biodiesel produced from several vegetable oils

Biodiesel feedstock	Density (kg/L)	Viscosity (cSt.)	Heating value (MJ/kg)	Cetane Number
Sunflower	0.88	4.5	39.90	56.2
Canola	0.884	4.31	39.88	54
Soybean	0.884	4.58	39.90	51.3
Corn	0.873	4.71	39.89	62.9
Olive	0.878	4.73	39.91	56.7
Greepseed	0.882	4.41	39.65	51.6

### مدلسازی خواص ترموفیزیکی سوخت‌های بیودیزل براساس اتیل استرهای موجود در آن

با توجه به داده‌های تجربی مربوط به آزمون کروماتوگرافی گازی مبنی بر اندازه‌گیری منوستر اسیدهای چرب موجود در سوخت بیودیزل و خواص سوخت بیودیزل، ضرایب ثابت  $c_1, c_2, c_3, c_4$  و  $c_5$  مربوط به معادله (۱)، بهصورت یک مدل رگرسیون غیرخطی چندگانه<sup>۱</sup>، با استفاده از نرمافزار IBM SPSS 17 محاسبه شدند. مقادیر اولیه پارامترهای  $c_1, c_2, c_3, c_4$  و  $c_5$  برابر ۱ درنظر گرفته شد. نتایج حاصل از مدل رگرسیون غیرخطی چندگانه و آنالیز واریانس، برای برآورد پارامترهای مدل، در جدول ۴ آورده شده است. نتایج نشان می‌دهد که همبستگی مدل ارائه شده برای دانسیته، گرانزوی، ارزش حرارتی و عدد ستان به ترتیب برابر  $0/۹۷۳۱, 0/۹۱۶۹, 0/۹۴۵۷$  و  $0/۹۰۲۹$  است.

### جدول ۴- برآورد متغیرهای مدل رگرسیونی خواص سوخت بیودیزل

Table 4- Estimation of Regression Coefficients

Biodiesel properties	Coefficient estimates					$R^2$
	$c_1$	$c_2$	$c_3$	$c_4$	$c_5$	
Density (kg/L)	0.860	0.809	0.879	0.895	0.922	0.9484
Viscosity (cSt.)	2.752	8.410	4.963	4.144	2.740	0.9169
Heating value (MJ/kg)	39.460	40.199	40.051	39.856	39.351	0.9731
Cetane Number	94.100	98.924	58.526	40.226	19.652	0.8789

دانسیته سوخت بیودیزل (اتیل استر)، با افزایش سهم اسیدهای چرب غیراشباع و درجه اشباع‌نشدگی (تعداد پیوندهای دوگانه)، افزایش می‌یابد. بیشترین تاثیر افزایشی بر دانسیته سوخت بیودیزل، مربوط به اتیل لینولنات با سه پیوند دوگانه است. لذا، دانسیته بیودیزل تولیدشده از روغن‌هایی که حاوی اسیدهای چرب غیراشباع (اسید اولیئک (C18:1)، اسید لینولئک (C18:2) و اسید لینولینک (C18:3)) کمتری است موجب کاهش دانسیته سوخت بیودیزل می‌شود. استاندارد ASTM محدودیتی برای دانسیته تعريف نکرده است، ولی استاندارد EN-14214 حد مجاز دانسیته سوخت بیودیزل تولیدشده با استفاده از مтанول (متیل اسید چرب) را در محدوده (kg/L)  $0/۸۶۰-۰/۹۰۰$  بیان کرده است. با توجه به نتایج بدست آمده، ضریب تاثیر دانسیته اتیل استئارات کمترین و ضریب تاثیر اتیل لینولنات بیشترین مقدار را دارد. لذا، در صورتی که از روغن‌هایی با درصد بالایی از اسیدهای چرب استئاریک یا لینولینک برای تولید بیودیزل استفاده شود، می‌تواند موجب افزایش یا کاهش دانسیته سوخت بیودیزل شود. نتایج این تحقیق نشان داد که ضرایب دانسیته اتیل پالمیتات، اتیل استئارات و اتیل اولئات به ترتیب برابر  $0/۸۶۰, 0/۸۰۹$  و  $0/۸۷۹$  هستند که با نتیجه تحقیق پراتاس و همکارانش [۲۳]، که مقادیر دانسیته اتیل پالمیتات، اتیل استئارات و اتیل اولئات خالص را در دمای  $15^{\circ}\text{C}$  به ترتیب برابر  $0/۸۶۳۶, 0/۸۶۲۸$  و  $0/۸۷۴۱$  پیش‌بینی

1. Multiple Nonlinear Regression Model

می‌کند، مطابقت خوبی دارد. همچنین، این تحقیق ضرایب دانسیته اتیل لینولنات، اتیل لینولنات را به ترتیب برابر  $0/895$  و  $0/922$  برآورد کرده که با نتیجه تحقیق پراتاس و همکارانش [۲۴]، که مقادیر دانسیته اتیل لینولنات، اتیل لینولنات خالص را در دمای  $^{\circ}\text{C} 15$  به ترتیب برابر  $0/8863$  و  $0/8970$  آورده است، مطابقت خوبی دارد.

گرانروی سوخت بیودیزل (اتیل استر اسیدهای چرب)، به میزان زیادی تحت تاثیر طول زنجیره و تعداد پیوندهای دوگانه است. نتایج جدول ۵ نشان می‌دهد که با افزایش تعداد پیوندهای دوگانه (یا به عبارت دیگر، با افزایش درجه اشباع‌نشدگی)، گرانروی سوخت بیودیزل کاهش می‌یابد. همچنین، گرانروی اتیل استرهای حاصل از اسیدهای چرب  $18$  کربنه بیشتر از اتیل استرهای حاصل از اسیدهای چرب  $16$  کربنه است. بیشترین تاثیر افزایشی بر گرانروی بیودیزل مربوط به اتیل استئارات است. لذا، تولید سوخت بیودیزل از روغن‌هایی که اسید استئاریک (C18:0) بیشتری دارند می‌تواند موجب افزایش گرانروی سوخت شود. حد مجاز گرانروی سوخت بیودیزل براساس استاندارد ASTM D445 در محدوده ( $\text{mm}^2/\text{s}$ )  $1/9\text{--}6$  است، که با توجه به نتایج جدول ۵، ضریب تاثیر گرانروی اتیل استئارات برابر  $8/41$  و بیشتر از حد استاندارد است. لذا، در صورتی که از روغن‌هایی با درصد بالایی از اسید چرب استئاریک برای تولید بیودیزل استفاده شود، می‌تواند موجب شود تا گرانروی سوخت بیودیزل در محدوده استاندارد قرار نگیرد.

ارزش حرارتی سوخت بیودیزل تحت تاثیر طول زنجیره هیدروکربنی و تعداد پیوندهای دوگانه است. با افزایش سهم اتیل استرهای حاصل از اسیدهای چرب  $18$  کربنه (نسبت به اتیل استرهای حاصل از اسیدهای چرب  $16$  کربنه) ارزش حرارتی سوخت افزایش می‌یابد، زیرا تعداد هیدروژن‌های سوخت بیشتر می‌شود. توضیح این نکته لازم است که در سوخت‌های هیدروکربنی فقط هیدروژن موجود در سوخت دارای ارزش حرارتی است و وجود کربن باعث سنگین‌ترشدن مولکول‌ها شده و ارزش حرارتی را کاهش می‌دهد. همچنین، با افزایش تعداد پیوندهای دوگانه (افزایش درجه اشباع‌نشدگی)، ارزش حرارتی سوخت کاهش پیدا می‌کند، زیرا به ازای هر پیوند دوگانه یک هیدروژن از مولکول حذف می‌شود. بیشترین تاثیر افزایشی بر ارزش حرارتی سوخت بیودیزل مربوط به اتیل استئارات است و کمترین تاثیر مربوط به اتیل پالمیتات و اتیل لینولنات است. لذا، تولید سوخت بیودیزل از روغن‌هایی که اسید استئاریک (C18:0) بیشتری دارند می‌تواند موجب افزایش ارزش حرارتی سوخت شود. با توجه به اینکه هیچ یک از استانداردها محدودیتی برای ارزش حرارتی تعريف نکرده است، بالابعد ارزش حرارتی سوخت یک مزیت به حساب می‌آید.

نتایج نشان می‌دهد که وجود اتیل استرهای اشباع نسبت به اتیل استرهای غیراشباع، بهشدت موجب افزایش عدد ستان سوخت می‌شود. تعداد کربن‌های اتیل استرها و تعداد پیوندهای دوگانه نقش موثری بر عددستان سوخت بیودیزل دارد. اتیل استئارات بیشترین تاثیر افزایشی را بر عدد ستان سوخت دارد، زیرا بیشترین تعداد کربن و کمترین درجه اشباع‌شدگی را دارد و اتیل لینولنات، بهدلیل داشتن سه پیوند دوگانه، کمترین تاثیر افزایشی را بر عدد ستان سوخت دارد. همچنین، نتایج نشان می‌دهد که تولید بیودیزل (اتیل استر)، از روغن‌های گیاهی با اسیدهای چرب اشباع (پالمیتیک و استئاریک)، باعث افزایش عدد ستان می‌شود. براساس استاندارد ASTM D6751، کمترین مقدار عددستان باید برابر  $47$  باشد و با توجه به اینکه ضریب تاثیر اتیل پالمیتات و اتیل لینولنات کمتر از حد استاندارد است، در صورتی که در تولید سوخت بیودیزل از روغن‌هایی با درصد بالایی از اسیدهای چرب غیراشباع (اسید لینولیئک و اسید لینولینک) استفاده شود، می‌تواند موجب شود تا عددستان سوخت بیودیزل کمتر از حد استاندارد باشد.

### اعتبارسنجی مدل ارائه شده

نتایج نشان می‌دهد که مقدار RMSE مدل‌های ارائه شده برای دانسیته، گرانروی، ارزش حرارتی و عدد ستان به ترتیب برابر  $0/0009$ ،  $0/0502$ ،  $0/0165$  و  $1/84$  است. لذا، اعداد پیش‌بینی شده برای خواص ترموفیزیکی سوخت بیودیزل دارای اعتبارند. شکل ۳ داده‌های واقعی و پیش‌بینی شده را برای خواص ترموفیزیکی سوخت بیودیزل نشان می‌دهد.

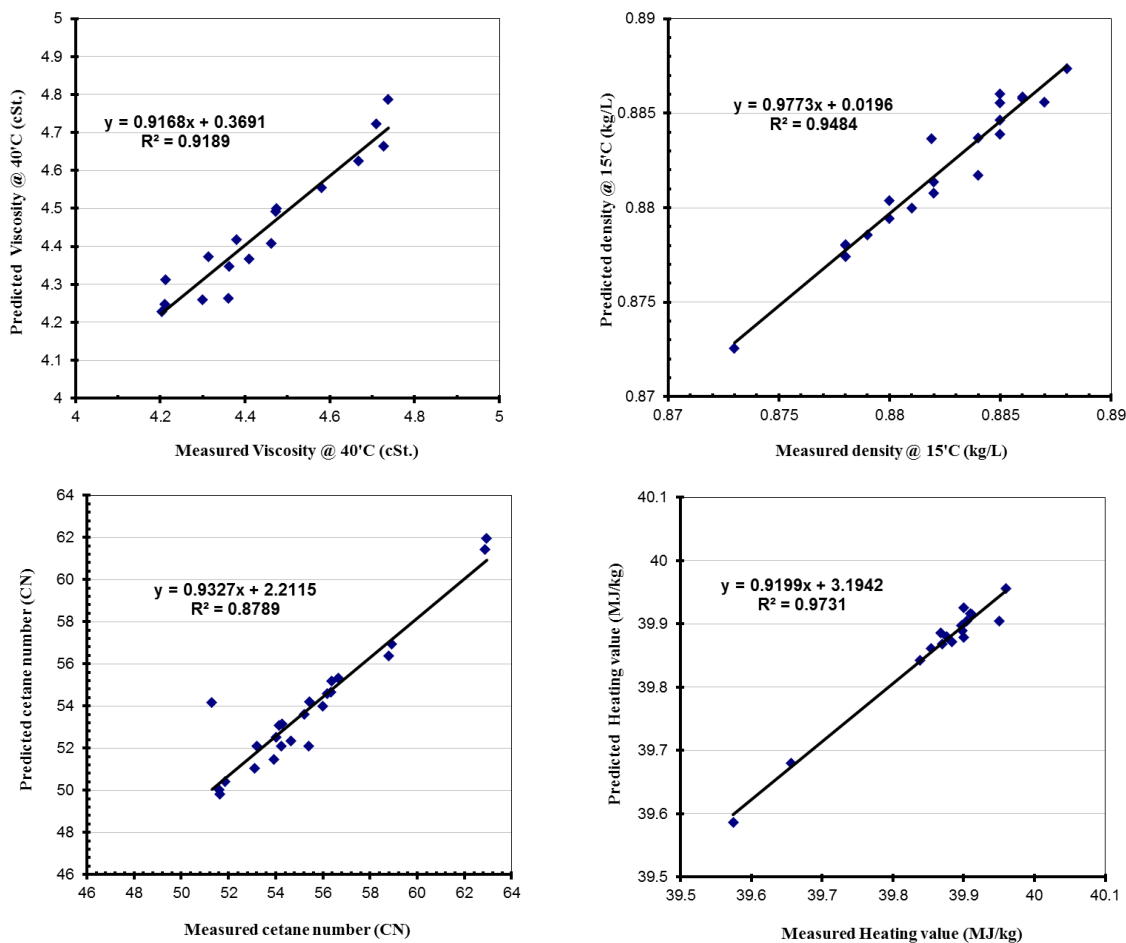


Figure 3- Calculated and measured values of biodiesel properties

شکل ۳- مقایسه مقادیر خواص ترموفیزیکی سوخت بیودیزل (اتیل استر) پیش‌بینی شده و اندازه‌گیری شده

توضیح این نکته لازم است که در مدل‌های ارائه شده، محدوده درصدهای هر یک از اتیل استرها به صورت  $x_p \leq 11/9$ ،  $x_{LE} \leq 8/93$ ،  $x_{LN} \leq 8/91$ ،  $x_O \leq 73/5$ ،  $x_S \leq 12/39$ ،  $x_{LE} \leq 8/80$ ،  $x_{LN} \leq 8/89$  و  $x_O \leq 73/4$  است، و مدل‌ها تنها در این محدوده می‌توانند پیش‌بینی درستی داشته باشند.

## نتیجه‌گیری

در این تحقیق، تاثیر درصد وزنی هر یک از اتیل استر اسیدهای چرب موجود در سوخت بیودیزل (اتیل استر) بر روی مهم‌ترین خواص ترموفیزیکی آن (دانسیته، گرانزوی، ارزش حرارتی و عدد ستان) مدلسازی شد. نتایج نشان داد که ضریب تاثیر اتیل استئارات بر دانسیته سوخت بیودیزل برابر  $0.9199$  است و ضریب تاثیر اتیل لینولنات برابر  $0.9327$  است؛ بیشتر از حد استاندارد است؛ ضریب تاثیر اتیل استئارات بر گرانزوی سوخت بیودیزل برابر  $0.9773$  است و کمتر از حد استاندارد است؛ بیشترین تاثیر افزایشی بر ارزش حرارتی سوخت بیودیزل مربوط به اتیل استئارات است و کمترین تاثیر مربوط به اتیل پالمیتات و اتیل لینولنات است؛ ضریب تاثیر اتیل لینولنات بر عدد ستان سوخت بیودیزل (اتیل استر) برابر  $0.9168$  است و کمتر از حد استاندارد است. همچنین، نتایج نشان داد که با افزایش مقدار اسیدهای چرب اشباع (به‌ویژه اتیل استئارات)، گرانزوی، ارزش حرارتی و عدد ستان سوخت افزایش، ولی دانسیته آن کاهش می‌یابد. افزایش ارزش حرارتی و عدد ستان سوخت باعث بهبود کیفیت احتراق و افزایش توان تولیدشده در موتور می‌شود. نتایج این تحقیق بر این نکته تاکید دارد که

می‌توان با فرمول‌های ساده ریاضی و بدون صرف هزینه یا استفاده از ابزارهای محاسباتی پیچیده (مانند شبکه عصبی و ...) خواص سوخت بیودیزل را با دقت قابل قبولی پیش‌بینی کرد.

## منابع

1. C. M. Caruana, "Pollution Control Drives New Interest in Biodiesel," *Chemical Engineering Process*, 84, 2000, pp.14-18.
2. M. Zanchi, "Development of Experiments with Vegetable Oils as a Diesel Substitute," *Applied Engineering in Agriculture*, 9, 1998, pp. 103-117.
3. M. Zanchi, "Development of Experiments with Vegetable Oils as a Diesel Substitute," *Applied Engineering in Agriculture*, 9, 1998, pp. 103-117.
4. M. J. Pratas, M. B. Oliveira, M. J. Pastoriza-Gallego, A. J. Queimada, M. M. Pineiro and J. A. P. Coutinho, "High-Pressure Biodiesel Density: Experimental Measurements, Correlation, and Cubic-Plus-Association Equation of State (CPA EoS) Modeling," *Energy Fuels*, 2011, 25, pp. 3806-3814.
5. M. E. Tat and J. H. Van Gerpen, "Speed of Sound and Isentropic Bulk Modulus of Alkyl Monoesters at Elevated Temperatures and Pressures," *J Am Oil Chem Soc*, 2003, 80, pp. 1249-56.
6. A. I. Bamgbose and A. C. Hansen, "Prediction of Cetane Number of Biodiesel Fuel from the Fatty Acid Methyl Ester (FAME) Composition," *Int. Agrophysics*, 2008, 22, pp. 21-29.
7. J. VanGerpen, B. Shanks, R. Pruszko, D. Clements and G. Knothe, "Biodiesel Analytical Methods," Golden, Colorado, National Renewable Energy Laboratory, Report No: NREL/SR-510-36240, August 2002-January 2004.
8. G. Knothe, "Dependence of Biodiesel Fuel Properties on the Structure of Fatty Acid Alkyl Esters," *Fuel Proc. Technol.*, 86, 2005, pp. 1059-1070.
9. J. A. Van Gerpen, Cetane Number Testing of Biodiesel," *Proc. 3rd Conf. ASAE Liquid Fuel*, Nashville, TN, 1996.
10. L. F. Ramirez-Verduzco, J. E. Rodriguez-Rodriguez and A. R. Jaramillo-Jacob, "Predicting cetane Number, Kinematic Viscosity, Density and Higher Heating Value of Biodiesel from its Fatty Acid Methyl Ester Composition," *Fuel*, 91, 2012, p. 102-111.
11. C. A.W. Allen, K. C. Watts, R. G. Ackman and M. J. Pegg, "Predicting the Viscosity of Biodiesel Fuels from Their Fatty Acid Ester Composition," *Fuel*, 78, 1999, pp. 1319-1326.
12. Y. C. Su and Y. A. Liu, "Selection of Prediction Methods for Thermophysical Properties for Process Modeling and Product Design of Biodiesel Manufacturing," *Ind. Eng. Chem. Res.*, 50, 2011, pp. 6809-6836.
13. A. F. Chang and Y. A. Liu, "Integrated Process Modeling and Product Design of Biodiesel Manufacturing Ind," *Eng. Chem. Res.*, 49, 2010, pp. 1197-1213.
14. W. Yuan, A. C. Hansen, Q. Zhang, Predicting the Temperature Dependent Viscosity of Biodiesel Fuels," *Fuel*, 88, 2009, pp. 1120-1126.
15. G. Knothe and K. R. Steidley, "Kinematic Viscosity of Biodiesel Components (Fatty Acid Alkyl Esters) and Related Compounds at Low Temperatures," *Fuel*, 86, 2007, pp. 2560-2567.
16. S. M. Sadrameli, W. Seames and M. Mann, "Prediction of Higher Heating Values for Saturated Fatty Acids from Their Physical Properties," *Fuel*, 87, 2008, pp. 1776-1780.
17. B. Freedman and M.O. Bagby, "Heat of Combustion of Fatty Esters and Triglycerides," *JAOCs*, 66, No. 11, 1989, pp. 1601-1605.
18. A. S. Ramadhas, S. Jayaraj, C. Muraleedharan and K. Padmakumari, "Artificial Neural Networks Used for the Prediction of the Cetane Number of Biodiesel," *Renewable Energy*, 31, 2005, pp. 2524-2533.
19. A. I. Bamgbose and A. C. Hansen, "Prediction of Cetane Number of Biodiesel Fuel from the Fatty Acid Methyl Ester (-FAME) Composition," *Int. Agrophysics*, 22, 2008, pp. 21-29
20. ASAE, ASAE Standards, American Society of Agricultural Engineers, 2006.
21. M. Abassi Fakhr, B. Najafi, "Prediction of Thermophysical Propreties of Biodiesel using Artificial Neural Network," MSc Thesis, University of Mohaghegh Ardabili, Ardabil, Iran, 2010.
22. S. Mohammadi, B. Najafi, "Prediction of Cetane Number of Biodiesel from Ethyl Ester Fatty Acids Components," MSc Thesis, University of Mohaghegh Ardabili, Ardabil, Iran, 2011.
23. M. J. Pratas, S. Freitas, M. B. Oliveira, S. I. C., Monteiro, A. S. Lima, and J. A. P. Coutinho, "Densities and Viscosities of Fatty Acid Methyl and Ethyl Esters," *Journal of Chemical & Engineering Data*, 55, 2010, pp. 3983-3990.
24. M. J. Pratas, S. Freitas, M. B. Oliveira, S. I. C., Monteiro, A. S. Lima and J. A. P. Coutinho, "Densities and Viscosities of Minority Fatty Acid Methyl and Ethyl Esters Present in Biodiesel," *Journal of Chemical & Engineering Data*, 56, pp. 2175-2180.

## English Abstract

# Effect of Fatty Acid Ethyl Esters in Biodiesel on Thermo-physical Properties

B. Najafi<sup>1</sup> and S. Faizollahzadeh Ardabili<sup>2</sup>

1- Department of Biosystem Engineering, University of Mohaghegh Ardabili

2- Department of Renewable Energies, University of Mohaghegh Ardabili

(Received: 2016.7.9, Received in revised form: 2017.2.3, Accepted: 2017.3.9)

Biodiesel fuels generally contain five types of fatty acid ethyl esters (Palmitate, Stearate, Oleate, Linoleate and Linolenate), which affect the thermo-physical properties of biodiesel fuels. The effects of each of the mono ester of fatty acids in biodiesel on the thermo-physical properties (density, viscosity, heating value and cetane number) were examined. Biodiesels were produced by transesterification method using ethanol and sodium hydroxide catalyst and seven types of vegetable oils (sunflower, soybean, canola, olive, corn and grapeseed). Thermo-physical properties of each sample were measured according to ASTM standards. For each of the properties, a nonlinear regression model based on five independent variables of the fatty acids ethyl esters (FAEE) were presented. The correlation coefficient regression models for density, viscosity, heating value and cetane number were obtained equal to 0.9457, 0.9169, 0.9731 and 0.9029, respectively. The results showed that of the ethyl stearate ( $C_{18}=0$ ) impact factor on the density is equal to 0.803, which is lower than the standard (0.86), and Methyl Linolenat ( $C_{18}=3$ ) impact factor on the density is 0.913, which is more than the standard (9.0). Ethyl Stearate( $C_{18}=0$ ) impact factor on the viscosity is equal to 8.41, which is higher than the standard (6). Also, Ethyl stearate has the greatest impact on heating value of biodiesel, and Ethyl Palmitate ( $C_{16}=0$ ) and Ethyl Linolenate ( $C_{18}=3$ ) have the smalles impact. Impact factor of Methyl Linolenate ( $C_{18}=3$ ) on the cetane number of biodiesel is 19.652, which is less than the standard (47). So, by increasing the amount of saturated fatty acids (especially ethyl stearate), viscosity, heating value and cetane number of biodiesel fuel increase, but the density decreases. If the heating value and cetane number of fuel increase, the engine power is increased, but if the viscosity increases and density diceses, the atomization of the fuel is incomplete. Therefore, the production of biodiesel from vegetable oils with high saturated fatty acids increases the engine power.

**Keywords:** Biodiesel, Fatty Acid Ethyl Ester, Thermo-Physical Properties, Modeling